

Elektrische Eigenschaften**Electrical properties****Höchstzulässige Werte****Maximum rated values**

Periodische Vorwärts- und Rückwärts-Spitzen-Sperrspannung	repetitive peak forward off-state and reverse voltages	$t_{vj} = -40^\circ\text{C} \dots t_{vj\ max}$	V_{DRM}, V_{RRM}	800, 1000	V
				1100, 1200	V
				1300*	V
Vorwärts-Stoßspitzen-Sperrspannung	non repetitive peak forward off-state voltage	$t_{vj} = -40^\circ\text{C} \dots t_{vj\ max}$	$V_{DSM} = V_{DRM}$		
Rückwärts-Stoßspitzen-Sperrspannung	non repetitive peak reverse voltage	$t_{vj} = + 25^\circ\text{C} \dots t_{vj\ max}$	$V_{RSM} = V_{RRM}$	+ 100	V
Durchlaßstrom-Grenzeffektivwert	RMS on-state current	$t_c = 85^\circ\text{C}$	I_{TRMSM}	550	A
Dauergrenzstrom	average on-state current	$t_c = 73^\circ\text{C}$	I_{AVM}	290	A
Stoßstrom-Grenzwert	surge current	$t_{vj} = 25^\circ\text{C}, t_p = 10 \text{ ms}$	I_{TSM}	350	A
Grenzlastintegral	I^2t -value	$t_{vj} = t_{vj\ max}, t_p = 10 \text{ ms}$	I^2t	7200	A
Kritische Stromteilheit	critical rate of rise of on-state current	$t_{vj} = 25^\circ\text{C}, t_p = 10 \text{ ms}$	$(I^2t)_{cr}$	6400	A
Kritische Spannungsteilheit	critical rate of rise of off-state voltage	$t_{vj} = t_{vj\ max}, t_p = 10 \text{ ms}$	$(di/dt)_{cr}$	260	kA^2s
		$v_D \leq 67\% V_{DRM}, f = 50 \text{ Hz}$		205	kA^2s
		$i_{GM} = 1 \text{ A}, di_G/dt = 1 \text{ A}/\mu\text{s}$		200	$\text{A}/\mu\text{s}$
		$t_{vj} = t_{vj\ max}, V_D = 67\% V_{DRM}$	$(dv/dt)_{cr}$	1)	
				2)	
			B:	50	$\text{V}/\mu\text{s}$
			C*:	500	$\text{V}/\mu\text{s}$
			L:	500	$\text{V}/\mu\text{s}$
			M*:	1000	$\text{V}/\mu\text{s}$

Charakteristische Werte**Characteristic values**

Durchlaßspannung	on-state voltage	$t_{vj} = t_{vj\ max}, i_T = 1000 \text{ A}$	V_T	max.	2,1	v
Schleusenspannung	threshold voltage	$t_{vj} = t_{vj\ max}$	$V_{T(TO)}$		1,2	v
Ersatzwiderstand	slope resistance	$t_{vj} = t_{vj\ max}$	r_T		0,75	$\text{m}\Omega$
Zündstrom	gate trigger current	$t_{vj} = 25^\circ\text{C}, v_D = 12 \text{ V}$	I_{GT}	max.	250	mA
Zündspannung	gate trigger voltage	$t_{vj} = 25^\circ\text{C}, v_D = 12 \text{ V}$	V_{GT}	max.	2,2	v
Nicht zündender Steuerstrom	gate non-trigger current	$t_{vj} = t_{vj\ max}, v_D = 12 \text{ V}$	I_{GD}	max.	10	mA
Nicht zündende Steuerspannung	gate non-trigger voltage	$t_{vj} = t_{vj\ max}, v_D = 0,5 V_{DRM}$	V_{GD}	max.	0,25	V
Haltestrom	holding current	$t_{vj} = 25^\circ\text{C}, v_D = 12 \text{ V}, R_A = 10 \Omega$	I_H	max.	250	mA
Einraststrom	latching current	$t_{vj} = 25^\circ\text{C}, v_D = 12 \text{ V}, R_{GK} \geq 10 \Omega$	I_L	max.	1	A
Vorwärts- u. Rückwärts-Sperrstrom	forward off-state and reverse Currents	$i_{GM} = 1 \text{ A}, di_G/dt = 1 \text{ A}/\mu\text{s}, t_q = 20 \mu\text{s}$	i_D, i_R	max.	50	mA
Zündverzug	gate controlled delay time	$t_{vj} = t_{vj\ max}, v_D = V_{DRM}, v_R = V_{RRM}$	t_{gd}	max.	1,2	μs
Freiwerdezeit	circuit commutated turn-off time	$t_{vj} = 25^\circ\text{C}, i_{GM} = 1 \text{ A}, di_G/dt = 1 \text{ A}/\mu\text{s}$ siehe Techn. Erl./see Techn. Inf.	t_q	s:	18	μs
			E:	max.	20	μs
			F:	max.	25	μs

Thermische Eigenschaften**Thermal properties**

Innerer Wärmewiderstand	thermal resistance, junction to case	$\Theta = 180^\circ \text{ el, sin DC}$	R_{thJC}	max.	0,08	$^\circ\text{C}/\text{W}$
Höchstzul. Sperrsichttemperatur	max. junction temperature	$t_{vj\ max}$		max.	0,077	$^\circ\text{C}/\text{W}$
Betriebstemperatur	Operating temperature	t_c			125	$^\circ\text{C}$
Lagertemperatur	storage temperature	t_{stg}			-40 ... + 125	$^\circ\text{C}$

Mechanische Eigenschaften**Mechanical properties**

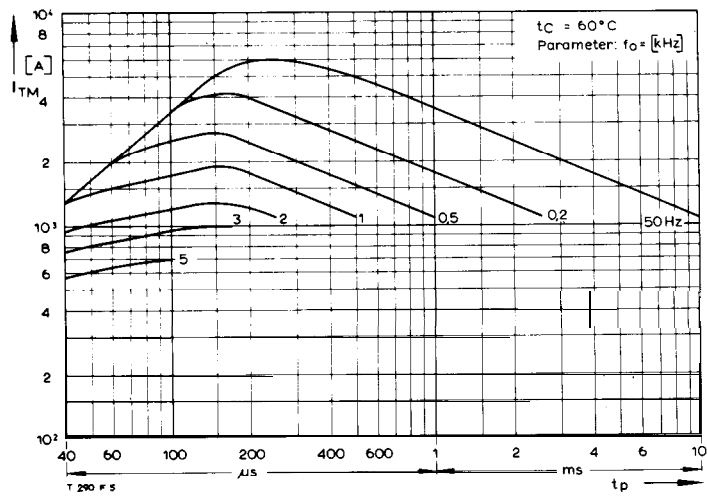
Si-Element mit Druckkontakt	Si-pellet with pressure contact					
Anpreßkraft	Clamping force					
Gewicht	weight					
Kriechstrecke	Creepage distance					
Feuchtekategorie	humidity classification	DIN 40040				
Schwingfestigkeit	Vibration resistance	f = 50 Hz				
Maßbild B	outline B	DIN 41894-224A4				
					50 m/s ²	
						Seitelpage 154

* Für größere Stückzahlen bitte Liefertermin erfragen/Delivery for larger quantities on request

1) Werte nach DIN IEC 747-6 (ohne vorausgehende Kommutierung)/Values to DIN IEC 747-6 (without prior commutation)

2) Unmittelbar nach der Freiwerdezeit, vgl. Meßbedingungen für t_q /Immediately after circuit commutated turn-off time, see Parameters t_q

T 290 F



BildFig. 1

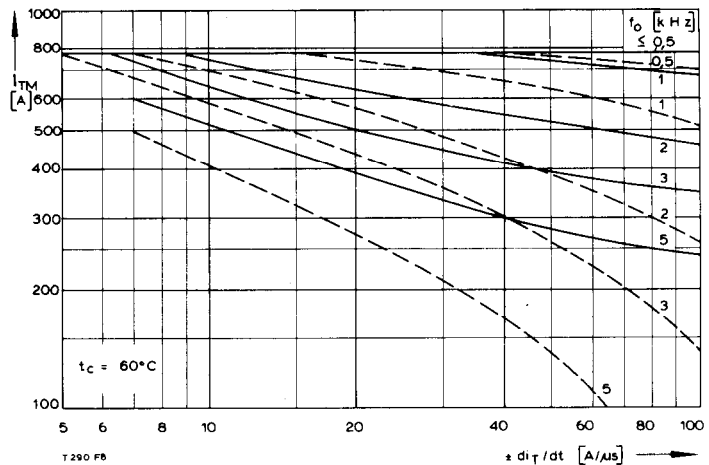
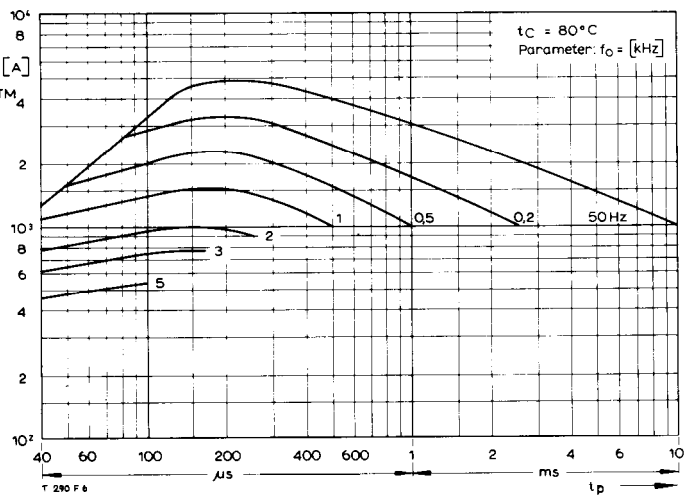


Fig. 4



BildFig. 2

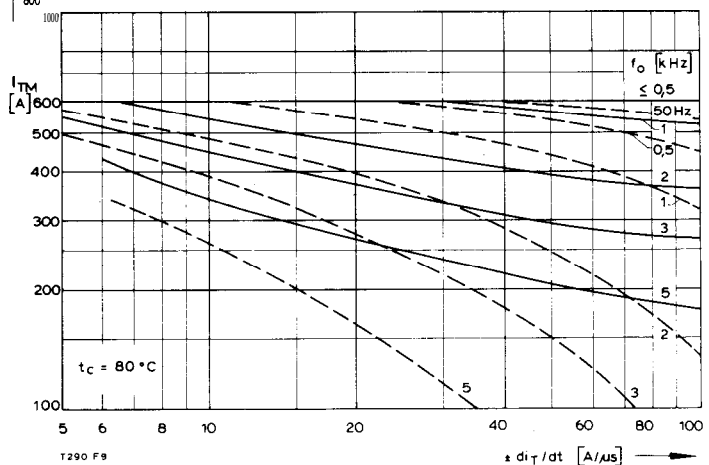
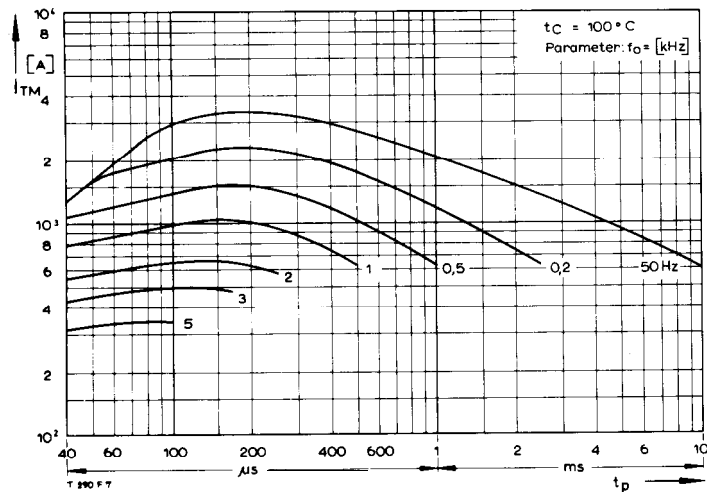


Fig. 5



BildFig. 3

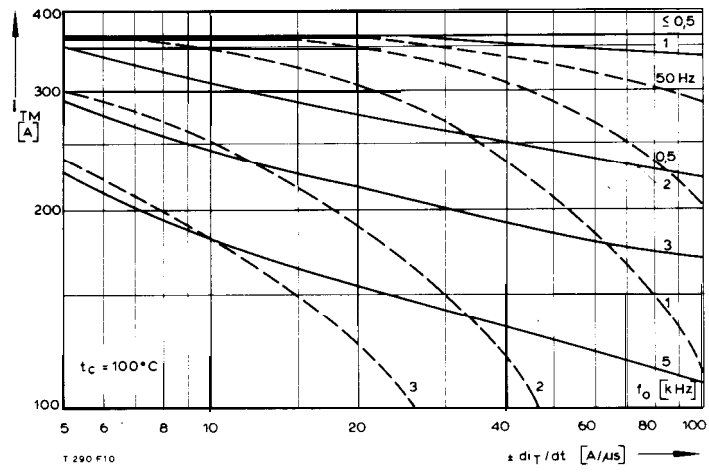
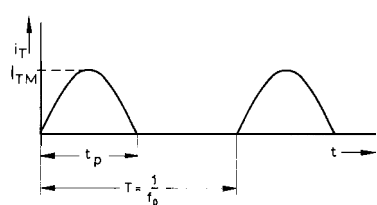


Fig. 6

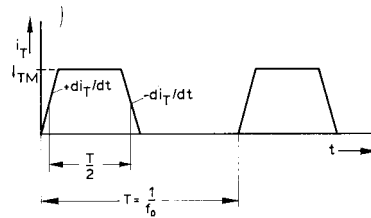
Bild/Fig. 1, 2, 3
Steuergenerator/pulse generator:
 $i_G = 1 \text{ A}$, $d_iG/dt = 1 \text{ A}/\mu\text{s}$

RC-Glied/RC-network:
 $R[\Omega] \geq 0,02 V_{DM} [\text{V}]$
 $C \leq 0,22 \mu\text{F}$
 $V_{DM} \leq 0,67 V_{DRM}$

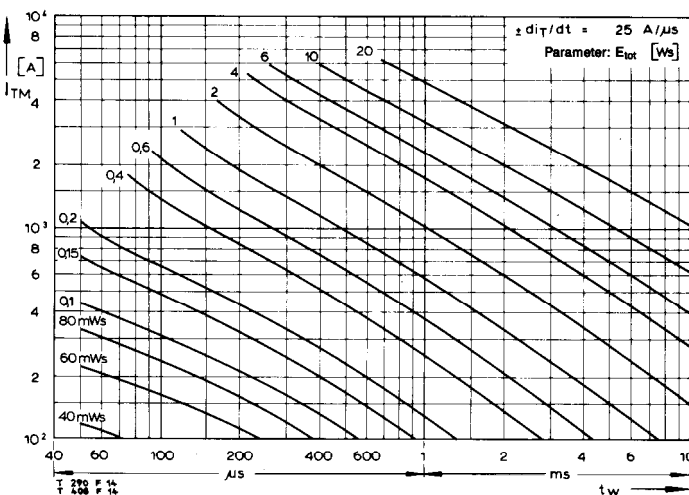


Bild/Fig. 4, 5, 6
Steuergenerator/pulse generator:
 $i_G = 1 \text{ A}$, $d_iG/dt = 1 \text{ A}/\mu\text{s}$

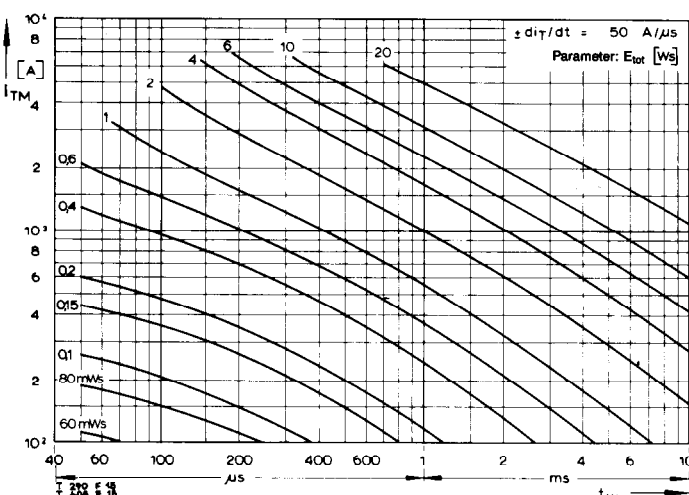
RC-Glied/RC-network:
 $R [\Omega] \geq 0,02 V_{DM} [\text{V}]$
 $C \leq 0,33 \text{ pF}$
 $V_{DM} \leq 0,67 V_{DRM}$
 $dV_R/dt \leq 600 \text{ V}/\mu\text{s}$
 $V_{RM} \leq 0,67 V_{RRM}$



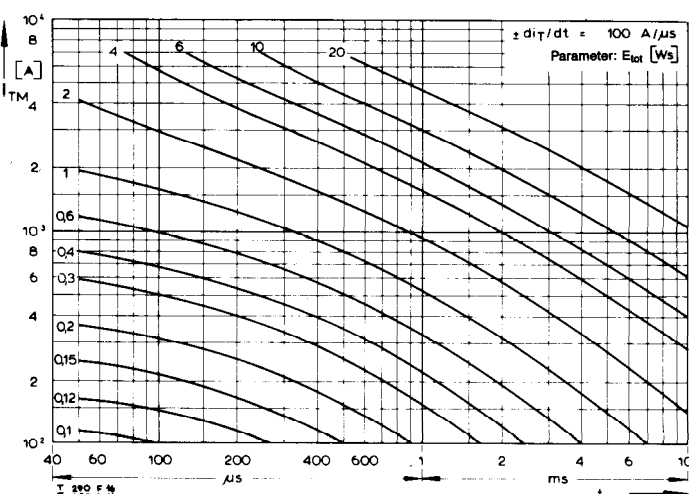
T 290 F



Bild/Fig. 10



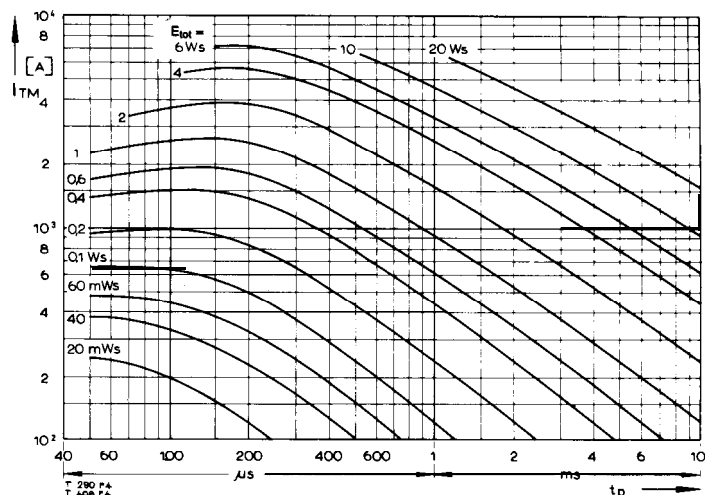
Bild/Fig. 11



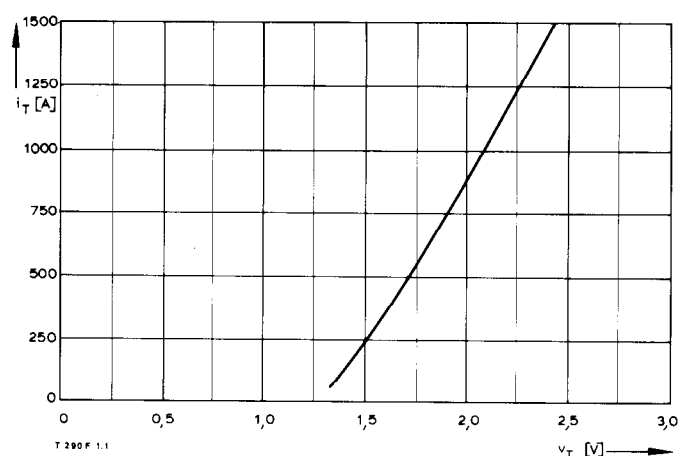
Bild/Fig. 12

Bild/Fig. 10, 11, 12
Steuergenerator/pulse generator:
 $i_G = 1 \text{ A}$, $di_G/dt = 1 \text{ A}/\mu\text{s}$

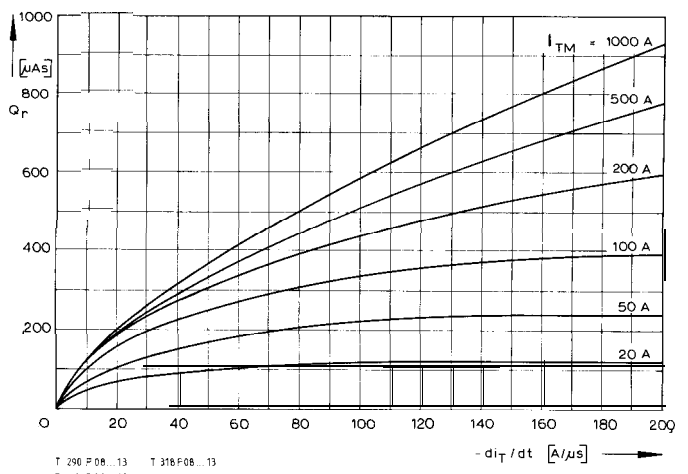
RC-Glied/RC-network:
 $R [\Omega] \geq 0,02 V_{DM} / V$
 $C \leq 0,33 \mu\text{F}$
 $V_{DM} \leq 0,67 V_{DRM}$
 $dv_R/dt \leq 600 \text{ V}/\mu\text{s}$
 $V_{RM} \leq 0,67 V_{RRM}$



Bild/Fig. 13



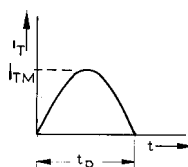
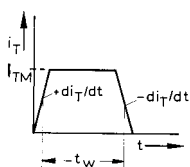
Bild/Fig. 14

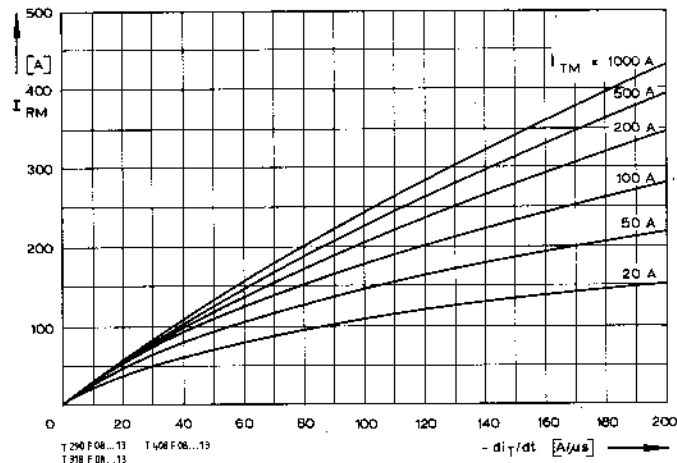


Bild/Fig. 15

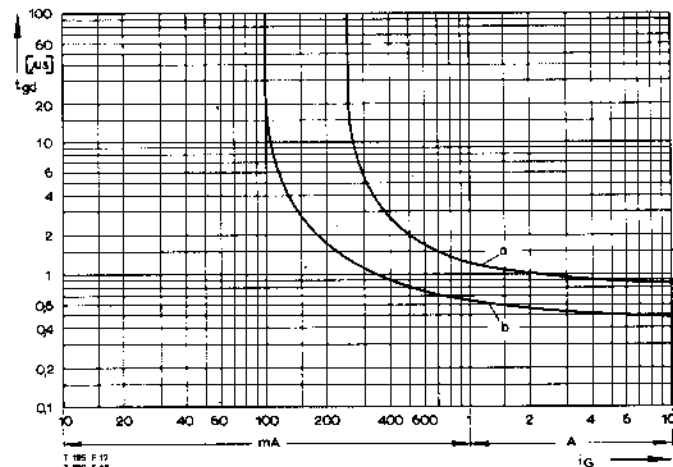
(zu Bild/to Fig. 13)
Steuergenerator/pulse generator:
 $i_G = 1 \text{ A}$, $di_G/dt = 1 \text{ A}/\mu\text{s}$

RC-Glied/RC-network:
 $F1 [\Omega] \geq 0,02 V_{DM} / V$
 $C \leq 0,22 \mu\text{F}$

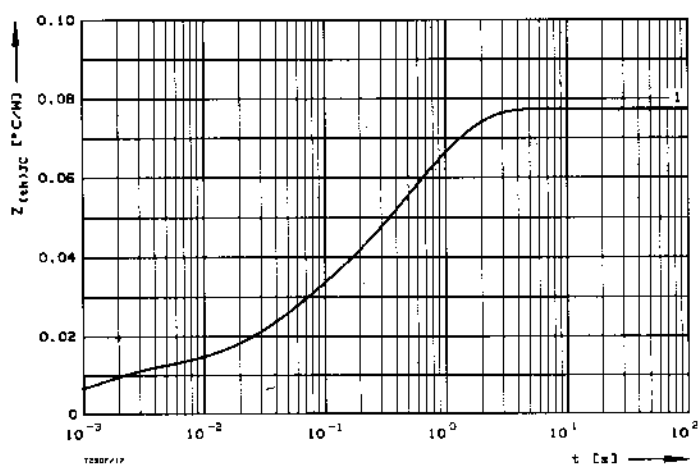




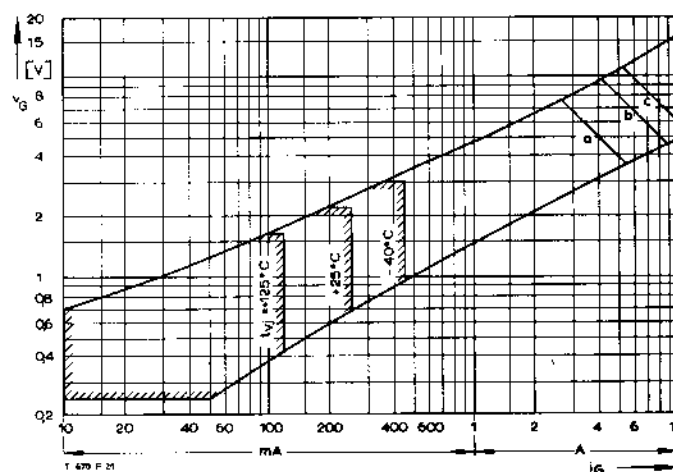
Bild/Fig. 16
Rückstromspitze $I_{RM} = f(-di/dt)$, $t_{ij} = t_{ij}(\max)$, $V_A = 0,5 V_{RRM}$, $V_{RM} = 0,8 V_{RRM}$
Peak reverse recovery current $I_{RM} = f(-di/dt)$, $t_{ij} = t_{ij}(\max)$, $V_A = 0,5 V_{RRM}$, $V_{RM} = 0,8 V_{RRM}$
Parameter: Durchlaßstrom/On-state current I_{TM}



Bild/Fig. 18
Zündverzug/Gate controlled delay time $t_{gd} = f(i_G)$, $t_{ij} = 25^\circ C$, $di_G/dt = i_{GM}/1 \mu s$
a – Maximaler Verlauf/Limiting characteristic
b – Typischer Verlauf/Typical characteristic



Bild/Fig. 17
Transienter innerer Wärmewiderstand $Z_{thn,DC} = f(t)$, DC
Transient thermal impedance $Z_{thn,DC} = f(t)$, DC
1 Beidseitige Kühlung/two-sided cooling



Bild/Fig. 19
Steuercharakteristik mit Zündbereichen/Gate characteristic with triggering areas
 $V_G = f(i_G)$, $V_D = 12 V$

Parameter:	a	b	c
Steuerimpulsdauer/Trigger pulse duration t_g [ms]	10	1	0,5
Höchstzulässige Spitzensteuerverlustleistung/ Max. rated peak gate power dissipation P_{GM} [W]	20	40	60

Analytische Elemente des transientes Wärmewiderstandes Z_{thn} für DC
Analytical elements of transient thermal impedance Z_{thn} for DC

Pos. n	1	2	3	4	5	6	7
R_{thn} [$^\circ C/W$]	0,010579	0,014042	0,016802	0,035980			
τ_n [s]	0,001165	0,040454	0,222096	0,838218			

Analytische Funktion/analytical function:

$$Z_{thn} = \sum_{n=1}^{n_{\max}} R_{thn} (1 - \exp(-t/t_n))$$